

## 동시당화발효공정을 위한 섬유소 가수분해의 동력학적 모사

오경근, 정용섭\*, 홍석인

고려대학교 화학공학과, 전북대학교 식품공학과\*

## Kinetic Modeling of the Enzymatic Hydrolysis of Cellulose for Simultaneous Saccharification and Fermentation of Cellulose

Kyeong-Keun Oh, Yong-Seob Jeong\*, Suk-In Hong

Dept. of Chemical Engineering, Korea University  
Dept. of Food Science and Technology, Chonbuk National University\*

섬유소계 바이오매스로부터 연료용 에탄올로의 전환을 위한 기술개발에 대해 많은 관심이 기울여지고 있다. 이중 동시당화발효(SF; Simultaneous Saccharification and fermentation) 공정은 당화와 발효공정이 한 장치에서 이루어지고 반응기내에 에탄올이 존재하므로 장치비 절감 및 오염문제를 감소시킬 수 있다. 또한 효소에 의해 섬유소가 당화될 때 생성물인 셀로바이오스나 포도당을 미생물에 의해 생성되는 즉시 에탄올로 전환시키게 되므로 당화속도를 저해하는 생성물 당에 의한 효소억제작용을 크게 감소시킬 수 있어 동력학 또는 경제적으로 에탄올을 생산할 수 있는 유용한 공정이 될 수 있다. 그러나 이러한 동시당화발효가 효과적으로 수행되기 위해서는 미생물 발효기질인 셀로바이오스나 포도당의 높은 농도가 요구되므로 고농도 당화반응 연구가 선행되어야 한다. 고농도 당화공정에서 가장 중요한 역할을 하는 것은 역시 cellulase 와  $\beta$ -glucosidase 두 효소의 역할이다.

본 연구에서는 에탄올 생산 수율에 최대 관건이되는 당 생산성을 최대화시키기 위한 일환으로 고농도 당화공정에서 셀로바이오스나 포도당의 효소에 대한 억제효과를 관찰하고 공정조건 개선 및 공정설계 등에 이용될 수 있도록 고농도 당화공정의 동력학적 이론을 규명하고자 하였다.

### 이론

섬유소의 가수분해 속도  $r_1$ 은 섬유소에 흡착한 셀룰라아제양에 의존한다.

$$r_1 = k_1^* (E_1^*) \quad (1)$$

흡착된 셀룰라아제의 양 ( $E_1^*$ )를 구하기 위하여 Langmuir 흡착동온식을 도입하면 흡착속도는 흡착되지 않은 부위와 효소농도에 비례한다

$$\left( \frac{dn_E}{dt} \right)_{ads} = k_{ads} (\alpha_1 - \alpha)(E_1)$$

### 탈착속도는 흡착된 부위에 비례

$$\left(\frac{dn_E}{dt}\right)_{des} = k_{des} \alpha$$

셀룰라아제의 흡착과 탈착속도가 평형이라고 가정하면

$$k_{ads}(\alpha_t - \alpha)(E_1) = k_{des}\alpha$$

따라서 식 (1)은

$$r_1 = \frac{k_1 \alpha (E_1)_t}{\alpha_t [ (E_1)_t + K_e ] + (\alpha_t - \alpha)} \quad (2)$$

효소 농도가 높을 때에는, 즉 기질의 표면이 효소로 포화 되었을 때에는

$$\alpha \rightarrow \alpha_t$$

$$r_1 = \frac{k_1 \alpha (E_1)_t}{[K_e + (E_1)_t]} \quad (3)$$

또한, 셀룰라아제와  $\beta$ -glucosidase는 리그닌에 흡착된다. 이러한 흡착은 두 효소의 효과적인 농도(effective concentration)를 감소시킨다. 따라서  $(E_1^*)$  과  $(E_2)$ 의 농도는 리그닌에 대한 흡착효과를 고려해주어야 한다. 또한 동시당화발효 수행 중에 섬유소 당화 속도가 감소하는 원인으로는 기질의 결정성 증가, 유용 표면적 감소, 그리고 효소의 억제효과/불활성화 등의 요인이 있다. 섬유소 구조가 당화속도에 미치는 영향을 고려하기 위해 기질의 반응성 계수  $\phi$  가 도입된다.  $\phi$  는 시간함수이며( $\phi=1$ ), 기질의 종류, 그리고 전처리 조건 등에 따라 다르다. 따라서  $\phi$ , 그리고 셀로바이오스(B)와 포도당(G)의 비경쟁적 억제효과를 고려하고 에탄올(E)에 의한 억제반응을 고려하면 섬유소의 셀로바이오스로의 당화속도  $r_1$ 은 다음과 같이 표현될 수 있다.

$$r_1 = \frac{k_1 \alpha \phi (E_1)_t}{[K_e + (E_1)_t] \left(1 + \left[\frac{(B)}{K_{1B}}\right] + \left[\frac{(G)}{K_{1C}}\right]\right)} \frac{K_{1E}}{K_{1E} + (E)} [1 - K_{1L}(L)] \quad (4)$$

$\beta$ -glucosidase는 수용액 상태에 존재한다.  $\beta$ -glucosidase는 기질에 의해 억제된다고 보고되었으며, 생산물인 포도당에 의해 경쟁적으로 억제된다고 보고되어 있다. 따라서 셀로바이오스의 당화 속도는 다음과 같이 표현할 수 있다.

$$r_2 = \frac{k_2 (E_2)(B)}{K_m \left[1 + \frac{(G)}{K_{1G}}\right] + (B) \left[1 + \frac{(B)}{K_{1B}}\right]} \frac{K_{2E}}{K_{2E} + (E)} [1 - K_{2L}(L)] \quad (5)$$

### 실험

#### 1. 매개변수 결정

식 (4), (5)는 매개변수들의 값에 근거하여 효소의 동력학적 행동을 묘사한다. 각각의 실험을 통하여 수집된 동력학적 자료들을 비선형 회귀분석하여 매개변

수들을 결정하였다. 본 실험에서는 Marquardt-Levenberg 알고리즘을 이용한 best-fitting 방법으로 매개변수를 결정하였다.

## 2. 초기반응속도 결정

셀룰라아제에 대한 억제효과를 관찰하기위하여 셀로바이오스와 포도당을 일정 농도별로 첨가하여 섬유소의 가수분해를 수행하였다. 초기 1시간 동안 15분 간격으로 시료를 채취하여 환원당 농도를 측정하고, 그 결과를 선형 회귀분석하여 얻은 기울기 값을 초기반응속도로 하였다.  $\beta$ -glucosidase에 대한 억제효과는 셀로바이오스를 기질로한 반응액에 일정량의 포도당을 첨가하여 당화반응을 수행하였으며, 초기 4분간 1분 간격으로 생성된 포도당 농도를 측정하여 시간에 따라 선형 회귀분석하여 얻어진 기울기 값을 초기반응속도로 하였다.

## 3. 섬유소 가수분해반응 모사

섬유소가 가수분해되어 당이 생성되는 과정의 물질수지식에 매개변수 값을 대입하여 얻은 미분방정식을 Runge-Kutta 방법을 이용, 수치해석하여 섬유소, 셀로바이오스 그리고 포도당의 시간에 따른 농도변화를 예측하여 실험값과 비교하였다.

## 결과 및 토론

셀로바이오스와 포도당의 농도를 0~80g/L 까지 변경시키면서 환원당 및 포도당의 생성속도를 비교한 결과 셀로바이오스를 5g/L 첨가시 셀룰라아제 역가는 70% 감소한 것으로 나타났으며, 포도당의 농도가 2g/L 일때 셀룰라아제 역가는 80%를 유지한 반면  $\beta$ -glucosidase 역가는 25%만을 유지하였다. 또한 포도당의 농도가 20g/L 일때는  $\beta$ -glucosidase는 거의 비활성화 된 것으로 나타나 포도당의  $\beta$ -glucosidase에 대한 억제효과가 매우 심각한 것으로 나타났다. Fig 1은 섬유소 가수분해 반응을 모사하여 속도표현식 적용성을 입증한 결과이며 기질의 특성 및 효소와 기질간의 상호작용에 대한 이해를 증진시키고, 모델 매개변수에 대한 보정단계를 거친다면 공정 설계, 공정 최적화, 그리고 규모화대등에 이용될 수 있을 것으로 사료된다.

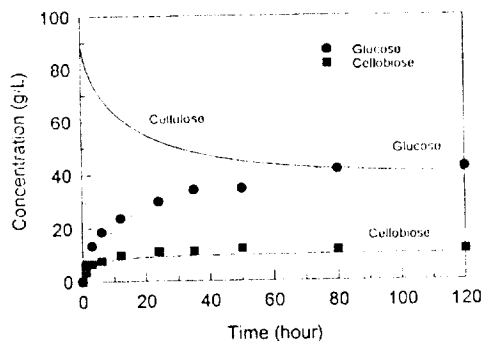


Fig. 1 Model simulations and experimental data of cellulose hydrolysis at optimum conditions.

### 사용기호

$k_1^*$  : specific rate of hydrolysis ( $\text{h}^{-1}$ )  
 $k_1$  :  $k_1^*/\alpha_s$   
 $(E_1^*)$  : concentration of adsorbed cellulase (g/L)  
 $(E_1)$  : free cellulase concentration (g/L)  
 $(E_1)_t$  : total cellulase concentration (g/L)  
 $k_{\text{ads}}, k_{\text{des}}$  : specific rates of cellulase adsorption on  
and desorption from the surface of cellulose  
 $K_e$  :  $k_{\text{des}}/k_{\text{ads}}$  (g/L)  
 $a_t$  : total surface area of the substrate ( $\text{m}^2/\text{L}$ )  
 $\alpha$  : surface area of the substrate occupied by cellulase ( $\text{m}^2/\text{L}$ )  
 $\alpha_s$  : surface area occupied per unit mass of cellulase ( $\text{m}^2/\text{g}$ )  
 $K_2$  : specific rate of cellobiose(B) hydrolysis ( $\text{h}^{-1}$ )  
 $K_m$  : Michaelis constant of  $\beta$ -glucosidase( $E_2$ ) (g/L)  
 $K_{1B}, K_{1G}, K_{1E}$  : inhibition constants of cellulase (g/L)  
 $K_{2B}, K_{2G}, K_{2E}$  : inhibition constants of  $\beta$ -glucosidase (g/L)

### 참고문헌

1. Holtzapple M. T., Caram H. S., and Humphery A. E.: Biotechnol. Bioeng., **26**, 775(1984)
2. Holtzapple M. T., Cognata M., Y. Shu, Hendrickson C.: Biotechnol. Bioeng., **36**, 275(1990)
3. Wald S., Wilke C. R., and Blanch H. W.: Biotechnol. Bioeng., **26**, 221(1984)
4. George P. P., Diane D. S., and Charles E. W.: Appl. Biochem. Biotechnol., **34**, 543(1992)
5. George P. P., Tammy K. S., and Charles E. W.: Biotechnol. Bioeng., **41**, 846(1993)
6. Bernd V., and Walter S.: Biotechnol. Bioeng., **42**, 469(1993)
7. Marquardt, D. W.: J. Soc. Indust. Appl. Math. **11**, 431(1968)
8. Howell J. A.: Biotechnol. Bioeng., **20**, 847(1978)
9. Caminal G., Lopez-Santin J., and Sola C.: Biotechnol. Bioeng., **27**, 1282(1985)